

Ду Н

Au H

Bengtsson 8.

1925

Arkiv. Mat. Astron. Fysik, 18,
N^o 7, 9 pp.

The combination relationships
in the band spectrum of the
gold flame.

Au H

Guthen S., Zumstein R. | 1926

Phys. Rev., 28, 13.

The absorption spectra of
some hydride compounds in
the ultraviolet.

Фул

F. Farkas

1929

AgH ①

Z. phys. Chem. B 5, 467, 1929

Об обраствании гауссбройного гирия золе

Чискас кер, кирас 300 мк димен \times 28 мк \varnothing . $t = 1400^\circ\text{C}$.

В ідеї $\text{H}_2 + \text{N}_2$. Оміка Губіл східжа в) Pythagoras масе (Haldeiwander, Spandau) кирас змін 500 мк в сферичн кирас 20 мк. Обрастванні гауссброй. Але ~~з~~ при прокоті є щіл H_2 кир. Іні утворюється гідразин та ін. а по сутті обрастванні змінівся процесується феномен диссоціації з нітратом Неміста.

Огруплення професії енергетиків на будівництві. Але
мало відповідей про $t = 1400^\circ\text{C}$, при яких

$p_{\text{AII}} = 7,8 \times 10^{-2} \text{ мм}$, т.е. кубатура икесіндең салғасы
жинаралған при өзек 15 см, как и сүр. орнадай, соңда.
 $0,71 - 0,7$ мм

Спер тәжік кабынарды при 1100°C , т.е. при $p_{\text{AII}} =$
 $0,01 \text{ мм}$.

Форма об жарии дислокациялар



V. 738

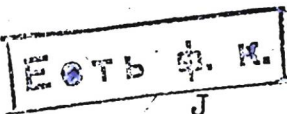
1929

AuH, CuH, CdH, ZnH, 2, D, E ~~and~~.

Bengtsson and Hulthen

1. Trans. Faraday Soc. 25, 751 (1929)

Circ. 500



F

АН

T. Heimer

1937

(20)

Z. Phys. 104, 303, 1937

Новейший метод изучения золота.

Сущ. Ант. наносят в испарении в газе. В результате испарения $^1\Sigma^+ - ^1\Sigma$ - переход находит величину $\delta' = 3,4,5$ мкм. Рассчитана зернистость и плотность золота $1.95 \text{ A}_{\text{мкм}}$

Влияние облучения на золото.

ИИР

T. Heimer Z. Phys. 101, 1936.

39- V 2818

1937

AuH; AuD (D)

Heimer T.

Z.Physik. 1937, 104, 303-8

The band spectrum of gold hydride.

CA, 1937, 2922⁴

J.

Est. f. k.

E C T B Φ. K.

Au H

Heimer T.

1937

86 pp., Thesis, Stockholm. 1937

The band spectra of hydrides
and deuterides of copper and
gold.

АНД Sunao Imanishi 1937

$\text{H}'\Sigma - \text{H}\Sigma$ Sci pap. Inst. Phys.-Chem. Res. (Tokyo)

(21) 31, 247, 1937

Бисерна полоса АНД $1\Sigma \rightarrow 1\Sigma$ в ближеси УФ и
некий анализ спектра пурпурного золота.

$$P_{D_2} = 120 \text{ мкРад} \quad D = 1,75 \text{ Å/мкм}$$

Время экспозиции в обл 3370-4440 30 мкч
второй полоса. Дискретный когерентный
сигнал $\underline{21.6 \text{ см}^{-1}}$

V 2819

1934

AuD; AuH (Te, We, XeWe; JeWe; Be, De, α)

Imanishi S.

Sci. Papers Inst. Phys. Chem. Research (Tokyo)
1937, 31, N 694, 247-64

The near ultraviolet ${}^1\Sigma \rightarrow {}^1\Sigma$ band system
of gold deuteride and a new analysis of gold
hydride spectrum.

CA., 1937, 6556⁵

J.

F

1963

AuH

Bsp - 3477 - VI

✓ 1 Д154. Спектр поглощения гидрида золота в УФ-области. R i n g s t r ö m, U l f. Absorption spectrum of gold hydride in the ultra-violet. «Nature» (Engl.), 1963, 198, №.4884, 981 (англ.)

В области 2200—2900 Å сфотографированы 11 полос поглощения AuH, оттененных в красную сторону. Приведены волны, числа полос, проведено отнесение полос переходам $B'\Sigma^+ - X'\Sigma^+$, $a^3\Pi - X'\Sigma^+$ и $C'\Sigma^+ - X'\Sigma^+$; дан их колебательный анализ; для указанных электронных состояний AuH предложены диссоциационные схемы, обнаружены преддиссоциация состояния C , приведены следующие предварительные значения констант (в см^{-1}): для $B'\Sigma^+$ $B = 5,849$, $\omega_e = 1693,1$, $\omega_e x_e = 74,3$; для $a^3\Pi$ $B = 5,464$, для $C'\Sigma^+$ $B = 5,79$. По спектру поглощения AuH при $\lambda < 2700 \text{ Å}$ также показано наличие новых Σ - и Π -состояний. В дополнении при корректуре отмечено, что последующий анализ AuD показал некорректность результатов для состояния $^3\Pi$. Ф. Ортенберг

90 · 1964 · 10

AuH
Aug 1963

Bep - 3477 - VI

1963

Absorption spectrum of gold hydride in the ultraviolet. Ulf Ringstrom (Univ. Stockholm). *Nature* 198, 981(1963). The absorption spectrum of Au hydride was photographed, 2200-2900 Å. Eleven bands were found, all shaded towards the red. The band farthest to the ultraviolet was too weak and diffuse to be analyzed: the other 10 bands were analyzed, and the results are tabulated. The table lists the head of the band in cm.⁻¹, characterizes the transition it represents, and gives preliminary consts. for the 3 excited states: $B^1\Sigma^+$, $a^3\Pi_1$, and $C^1\Sigma^+$.

Robert D. Cloney

C.P. 1963.59.6

5944d

Al H. Доронин В. А.

1964

Тип. Комис. по спекулятиво-
му. АН СССР; №вн. 1,
689-695.

Материал полученный в результате
исследования синтетических
и природных полимеров, включая
поли(изопреноиды), поли(сти-
рен) и поливинилхлорид.

(кн. Al H)

1964

Ан. 21

Ломаков В. А.

Онк. и спешбр., 1964, XVI, 113,
402.

Фотоучение эсцитропных
полосатых спешбротов полу-
ученое юношеское эсцит-
ропское из бричва проколо-
век в  мягкосиних.
(см. История воздушн.)

АНН

АНД



U. Ringstrom

1964

BO⁺-Y²⁺

C²⁺-X²⁻

A²⁺-Y²⁻

C²⁺-Y²⁻

Art. tys. 27 (17), 227-65

Спектр поглощений АНН и АНД в длином
ультрафиолете.

Беск. 2000-3000 см⁻¹. 0.6 A₂/A₁

АН-мейсс, помещающие в ультрафиолете и излучающие в видимом диапазоне 1960-2000 см⁻¹. Видимое излучение H₂. Видимый излучающий ~ 2800 см⁻¹. Видимое излучение синего цвета сущестует в видимом диапазоне. В видимом диапазоне (2000-2100) АНД излучает синий свет с интенсивностью 12 A₂/A₁. С 1000W-лампой яркость синего излучения 15-60 мк. 60 мк при различных температурах выше 1000

$f_{22} = 600$ или 120 , $600 - \text{п.}$: Сигналы должны быть ограниченны
минимальной длительностью из-за необходимости привести к единому.
При сигнальных пакетах $\sim 0.05 \text{ с}^{-1}$, для различных видов 0.2 с^{-1} . Фотографии — неизв.

Критика для предвар. разработки

Предварение для фокуса

Dek
AuD
meapp
(\oplus)

B9 - 3478 - 11

1964

Absorption spectra of gold hydride and gold deuteride in the far ultraviolet. Ulf Ringstrom (Univ. Stockholm). *Arkiv Fysik* 27(17), 227-65(1964)(Eng). The absorption spectra of AuH and of AuD were studied, 2200-3000 Å. In AuH, 12 new vibrational levels were found; in AuD, 9. These belong to 5 electronic states: $B0^+$, $C^1\Sigma^+$, a_2 , b_1 , and $c0^-$. The last 4 have Hund's case c (far nuclei case c) coupling of the angular momenta. They have large internuclear distances and small dissocn. energies. The transition $c0^- - X^1\Sigma^+$ was found only in AuH. It is usually forbidden, as is $2^{-1}\Sigma^+$, but appears here because of rotational uncoupling of electronic angular momenta. The $B0^+$ state is strongly perturbed by $C^1\Sigma^+$, and is perturbed by b_1 . Many of the levels are predissocd. by an unstable 1 state. The dissocn. energy of the ground state of AuH is estd. to be $D_0 = 26,000 \pm 1000 \text{ cm.}^{-1}$. The mol. consts. are tabulated. C. F. Aten

C.A. 1965. 62 · 2
12/11/64

1964

АэИ

Au D

14 Б123. Спектр поглощения гидрида и дейтерида золота в дальней ультрафиолетовой области. Ringström Ulf. The absorption spectra of gold hydride and gold deuteride in the far ultraviolet. «Arkiv. fys.», 1964, 27, № 3, 227—265 (англ.)

В области 2200—3000 Å исследованы спектры поглощения AuH и AuD. Для AuH найдено 12 новых колебательных уровней, а для AuD 9 уровней. Эти уровни принадлежат 5 электронным состояниям: $B0^+$ (прежнее обозначение $B'\Sigma^+$ или $'\Sigma^{**}$), $C'\Sigma^+$, $a\ 2$, $v\ 1$ и $c\ 0^-$. В последних 4 состояниях осуществляется тип c связи по Гунду орбитальных моментов. Они имеют большие расстояния между ядрами и малые энергии диссоциации. Переход с $0^- - X'\Sigma^+$ найден только у AuH. Этот переход, так же как и $2 - '\Sigma^+$, обычно запрещен. Состояние BO^+ сильно возмущается состояниями $\Sigma'\Sigma^+$ и $v\ 1$. Многие уровни предиссоциируют на нестабильное состояние.

Б99-ЗУ Ч8-111



Х. 1965. 14

Энергия диссоциации основного состояния AuH составляет $26000 \pm 1000 \text{ см}^{-1}$. Без исправления на возмущение приведены мол. константы v_{00} , B_0 , $B_0 - B_1$, $\Delta G_{1/2}$ и D_0 . Сделано предположение, что первое возбужденное состояние является состоянием $C^1\Sigma^+$, а состояния AO^+ BO^+ , $a\ 2,\ b\ 1$ и $c\ 0$ имеют конфигурации типа $(d^9)(s\sigma)^2(p\sigma)$. Электроны d^9 сильно взаимодействуют друг с другом. Формально для состояний $a\ 2,\ b\ 1$, $c\ 0$ и BO^- предложены конфигурации $(d\sigma)^2(d\pi)^3(s\sigma)^2(p\sigma)$.

Р. Ф.

авк 5 Д253. Спектр поглощения гидрида и дейтерида золота в далекой УФ-области. R i n g s t r ö m U l f. The absorption spectra of gold hydride and gold deuteride in the far ultraviolet. «Årkiv fys.», 1964, 27, № 3, 227—265 (англ.)

184

спектр, До, б.н. В области 2200—3000 исследованы спектры поглощения AuH и AuD. Для AuH найдено 12 новых колебательных уровней, а для AuD — 9 уровней. Эти уровни принадлежат 5 электронным состояниям: $B0^+$ (прежнее обозначение — $B^1\Sigma^+$ или ${}^1\Sigma^{**}$), $C^1\Sigma^+$, $a2$, $b1$ и $c0^-$. В последних 4 состояниях осуществляется тип c -связи Гунда орбитальных моментов. Они имеют большие расстояния между ядрами и малые энергии диссоциации. Переход $c0^- - X^1\Sigma^+$ найден только у AuH. Этот переход также, как и $2 - {}^1\Sigma^+$, обычно запрещен. Состояние $B0^+$ силь-

B93-Зернег-11



ф. 1965. 58

но возмущается состояниями $C^1\Sigma^+$ и $b1$. Многие уровни преддиссоциируют на нестабильное состояние 1. Энергия диссоциации основного состояния AuH составляет $26\,000 \pm 1000\text{ см}^{-1}$. Без исправления на возмущение приведены молекулярные константы v_{00} , B_0 , $B_0 - B_1$, $\Delta G_{1/2}$ и D_0 . Сделано предположение, что первое возбужденное состояние является состоянием $C^1\Sigma^+$, а состояния $A0^+$, $B0^+$, $a2$, $b1$, $c0$ имеют конфигурации типа (d^9) $(s\sigma)^2$ $(p\sigma)$. Электроны d^9 сильно взаимодействуют друг с другом. Формально для состояний $a2$, $b1$, $c0^-$ и $B0^+$ предложены конфигурации $(d\sigma)^2$ $(d\pi)^3$ $(d\delta)^4$ $(s\sigma)^2$ $(p\sigma)$.

Ruth
stud

B90-3478-VI

1964.

Ringstrom II.

(u.n.)

Specie fys., 1964,
~~1964~~, 27, ~~227~~, 227-265-

stuff

A-576

1966

Hussain Z.,

Can. J. Phys. , I966, 44,
N4, 917-19.

(Wē)

Ag H
Ag D

Ringsström U., Åslund N.

1966

$B^1\Sigma^+ - X$ ③ Ark. Fys. 32, N1, 19, 1966

$c' \pi - x$
 $\phi' \pi - x$ Спектр поглощения AgI и AgD в длину λ .

Позиционне в пироканца, $t = 1550^{\circ}\text{C}$ в атмосфере H_2 или O_2 . Давление в пироканце ~ 400 мбар.

Несколько сюжетов этого же цикла.

I норея 21 ft-решка 1,2 A/mm Эксплуат 20 мин
(глубину y.p. 2200-2500)

Dream Spectral photograph

A.U.H

ommaea vif
Bnanke Stockholm. Univ.

1966

do, decr.
coommence
re

Ringström U.
Inaugural Disserta-
tion. Uppsala, 1966

Spectroscopic investigation
of the hydrides and deuterides
of Cu, Au, and Ag.

Ommea vif
1966

AuH; CuH

1973

164368n Floating type wave functions in molecular pseudopotential calculations. Gaspar, R.; Tamassy-Lentei, I. (Inst. Theor. Phys., Kossuth Lajos Univ., Debrecen, Hung.). *Acta Phys.* 1973, 33(3-4), 387-98 (Eng). Electronic structure, disocn. energy, and equil. nuclear sepn. were detd. for CuH, AgH, AuH, ZnH⁺, CdH⁺, HgH⁺, NaH, KH, RbH, CsH, MgH⁺, CaH⁺, SrH⁺, BaH⁺, and RaH⁺ using the pseudopotential method. In such mols., 2 valence electrons are moving in the field of a proton and a pos. ion X^+ , the interaction energy of these valence electrons and the pos. ion being accounted for by a Hellman-type pseudopotential. As a 1st approxn., floating H-type 1s, 1-center wave functions were used to describe the closed-shell and open shell mol. bonding functions.

(70)

C.v.f. 1973. 78 N 26

+14



AUH

ommusek 3323

1975-

Gaspar R; et al.

(Y; Ye) Acta phys. Acad. Sci. Hung.,
1975, 38 N1, 3-13.

Molecular pseudopotential
Calculations I. ...

H-Au

04441. 4824

1975

Kerr, J. A., et al.

Handbook Chem. Phys.,
55 th Ed., 1974-75

(Do)

(вид. нос)

60604.3708

Ph, Ch, TC, MGU

96201

Auff (kb. неех.
насес)

1976

ХБ-13206

Desclaux J. P., Pyykkö P. Dirac - Fock
one-centre calculations. The molecules
CuH, AgH and AuH including p-type symmetry
functions. "Chem. Phys. Lett.", 1976,
39, N 2, 300-303 ((англ.) (эш CuH) III
Уб29 рнх

614 615 621

ВИНИТИ

AuH

AuCl

HgCl₂

ref. icex
pacccf

(+2)

C.A. 1948
N° 20

55. 105412J AB initio studies of gold monohydride, gold monochloride, mercury monohydride and mercury dichloride using relativistic effective core potentials. Hay, P. Jeffrey; Wadt, Willard R.; Kahn, Luis R.; Bobrowicz, Franck W. (Los Alamos Sci. Lab., Univ. California, Los Alamos, N. Mex.). J. Chem. Phys. 1978, 69(3), 984-97 (Eng). Relativistic effective core potentials (ECP) are derived for Au and Hg atoms, where the ECP's incorporated the Coulomb and exchange contributions of the core orbitals; the core-orthogonality terms for the valence orthogonality terms for the valence orbitals, and the effect of the "mass-velocity" and "Darwin" relativistic effects on the valence orbitals. The results of at. valence-electron (VE) calcs. with the ECP's compare favorably with relativistic Hartree-Fock and Dirac-Hartree-Fock calcs. and with expt., when the effects of spin-orbit coupling are included in the VE calcs. Nonrelativistic calcs., by contrast, lead to erroneous predictions and to differences in excitation energies of 1.5-3.5 eV. The large relativistic effects in the atoms carry over into the AuH, AuCl, and HgCl₂ mols, as they are important in detg. correct bond lengths and bond energies and in influencing the charge distributions. Similarly large relativistic effects are encountered in ionization potentials calcd. for HgCl₂ from orbital energies and from SCF calcs. Spin-orbit coupling is introduced to compare with the exptl. photoelectron spectrum. An extensive study of the lowest electronic states of HgH is presented, where the effects of spin-orbit coupling are crit. in describing the potential energy curves of the excited $^2\Pi_{1/2}$ and $^2\Sigma_{1/2}^+$ states.

1978
Omnibus 6866

AuH

*15-18847
Boeyens Jan. C. A 1974

"J. Chem. Soc. Faraday Trans. 2",
1974, 73(3), 321-6.

(
zeDe
KB. cex.
paerees.)

(c.u. Cu-Au; III)
(c.u. Cu) III

1978

AuH
 AuCl
 HgH
 HgCl₂

кв. меж.
 расст

(+3) 48

x: 1979, N3

3 Б35. Неэмпирические исследования AuH, AuCl, HgH и HgCl₂ с использованием релятивистских эффективных потенциалов остова. Нау P. Jeffrey, Wadt Willard R., Kahn Luis R., Bobrowicz Franck W. Ab initio studies of AuH, AuCl, HgH and HgCl₂ using relativistic effective core potentials. «J. Chem. Phys.», 1978, 69, № 3, 984—997 (англ.)

Определены релятивистские эффективные потенциалы (ЭП) остовов атомов золота и ртути. Найденные ЭП аппроксимированы линейными комбинациями гауссовых функций и использованы для расчетов энергий атомов Au, Hg и молекул AuH, AuCl, HgH и HgCl₂ методом МК ССП. Спин-орбитальное взаимодействие учтено в рамках полуэмпирич. модели. Для сравнения проведены вычисления с использованием тех же приближений с не-релятивистскими ЭП. Впервые продемонстрирована важность учета релятивистских эффектов при расчете св-в молекул. Релятивистские эффекты оказывают сильное влияние на длины и энергии связей и характер распре-

ЗН-4221

деления электронной плотности в AuH , HgCl_2 и HgCl_2 .
Отмечено, что в релятивистском приближении результаты лучше согласуются с эксперим. данными. Показано, что спин-орбитальное взаимодействие ответственно за правильное описание $^2\Pi_{1/2}$ и $^2\Sigma_{1/2}^+$ состояний молекулы HgH .

А. В. Немухин

Издательство Уральской Академии Наук



AuH

128

12Д130. Неэмпирическое исследование AuH, AuCl,
HgH и HgCl₂ с использованием эффективных потенциа-
лов остова. Hay Jeffreу P., Wadt Willard R.,
Kahn Luis R., Bobrowicz Franck W. Ab initio
studies of AuH, AuCl, HgH and HgCl₂ using relativistic
effective core potentials. «J. Chem. Phys.», 1978, 69, № 3,
984—997 (англ.)

исп. неэ.
расчет

Выполнены неэмпирич. расчеты электронной структуры атомов Au и Hg и молекул AuH, AuCl, HgH и HgCl₂ в валентном приближении с использованием релятивистских эффективных потенциалов остова (РЭПО). РЭПО включают члены, ответственные за кулоновские и обменные взаимодействия орбиталей остова и релятив. эффекты, связанные с зависимостью массы от скорости, а также дарвиновские члены. Спин-орбитальное взаимодействие учитывалось методом теории возмущений, РЭПО и нерелятив. ЭПО представлены в виде разло-
зования

Ф. 1974.2

жений по гауссовым ф-циям. Расчеты проводились в гауссовых базисах в приближении ССП, многоконфигурационным методом (МК) ССП и методом МК ССП+КВ. Предварительно сопоставлены результаты расчетов энергий АО и энергий возбужденных состояний, ΔE , Au и Hg, выполненных с учетом (I) и без учета (II) релятив. эффектов (РЭ). Лишь в случае (II) наблюдается согласие рассчитанных ΔE с экспериментом. Учет РЭ приводит к сжатию и понижению энергий орбиталей, имеющих минимум амплитуду в области ядра (s—АО). Результаты расчетов в валентном приближении с РЭПО находятся в хорошем согласии с данными, полученными в полных расчетах с включением РЭ. Рассчитаны кривые потенц. энергии для основных состояний молекул AuH, AuCl, HgH и HgCl₂ с использованием РЭПО и нерелятив. ЭПО. Для HgH выполнены расчеты потенц. кривых ряда возбужденных состояний (с учетом и без учета спин-орбитального взаимодействия). О. В. Сизова

1978

Анн

факт
дл. изгот.
сдвигов

(+6)

⊗



12 Д 154. Проявление нарушения приближений Бор-На-Оппенгеймера в спектрах некоторых двухатомных молекул. Rai S. B., Yadav B. R., Rai D. K. Breakdown of Born-Openheimer approximation in the spectra of some diatomic molecules. «Nat. Acad. Sci. Lett.», 1978, 1, № 7, 286—268 (англ.)

На основании теории Банкера (Bunker P. R. «J. Mol. Spectr.», 1968, 28, 422) рассчитаны электрооющие изотопич. сдвиги в молекулах AuH, AlH, LuH, ZnH⁺, Li₂, BaH и VH.

Ф.1978.112

AuH

1949

Kant Arthur, et al

(D.Y)

High Temp. Sci 1949, 11,
no. 55-62

all. Cu H-1

AuH

described 8901

1979

AuD

Ohwada K.

Spectrochim acta,
1979, A35, 1353-57.

CuAu 110 Gf.

Auff

[0111222222 3033] 1979

Pitzer R.S.

Mr. 122.

126, 100X,
pacer

Accents chem. Revs.

1979, 12 (8), 241-76

Relativistic Effects on
Chemical Properties.

АиН

1980

4 Б57. О природе релятивистского сжатия длины связи. Ziegler T., Snijders J. G., Baerends E. J. On the origin of relativistic bond contraction. «Chem. Phys. Lett.», 1980, 75, № 1, 1—4 (англ.)

В рамках метода Хартри—Фока—Слейтера (вариант метода ДВМ с аналитич. базисом слейтеровских ф-ций) с учетом релятивистских поправок в 1-м порядке теории возмущений рассчитаны потенциальные кривые и спектроскопич. постоянные молекул Au, AiH и AuCl. В кач-ве возмущения рассматривались релятивистские поправки 1-го порядка малости по величине α^2 , где α — постоянная ТС: поправка на зависимость массы электрона от скорости (ПЗС), дарвиновское и спин-орбитальное взаимодействие. Помимо поправки 1-го порядка к полной энергии молекулы вычислены также релятивистские поправки 2-го порядка малости, связанные с релятивистским сжатием волновых ф-ций. Релятивистское сжатие длии связей (по отношению к нерелятивист-

кв. мех.
расчет,
дл. связи

(+)

Х. 1981.11.4.

скому значению) составило 16, 13 и 5% в Au_2 , AuH и AuCl , соотв., причем все это сжатие обусловлено практические только релятивистскими поправками 1-го порядка. Энергии диссоциации и частоты колебаний в релятивистском случае увеличиваются и для всех трех молекул хорошо согласуются с эксперим. значениями. Сделан вывод о том, что релятивистское сжатие длин связей не связано с релятивистским сжатием волновых функций и обусловлено, в основном, ПЗС. Отриц. величина ПЗС частично компенсирует возрастание кинетич. энергии, уменьшает отталкивание между атомами, связанное с ростом кинетич. энергии, и вызывает сдвиг минимума потенциальной кривой в сторону меньших значений.

И. А. Тополь

AuH Malli B. Z. 1981

KG:lex.
pacrem Relativistic Eff. Atom,
mol., and Solids. Proc.

leovcekyu NATO Adv. Study Inst.,
Vancouver, 10-21 Aug.,

1981. New York; London,
1983, 183-211.

(Ces. H₂; $\underline{\text{II}}$)

АИИ

1981

1 Б1021. Расчет энергий связи методом переходного состояния в приближении Хартри—Фока—Слейтера с учетом релятивистских эффектов. Calculation of bonding energies by the Hartree—Fock—Slater transition state method, including relativistic effects. Ziegler Том. «Relativistic Eff. Atoms, Mol., and Solids. Proc. NATO Adv. Study Inst., Vancouver, 10—21 Aug., 1981». New York; London, 1983, 421—436 (англ.)

Статья обзорного характера. Изложен формализм нерелятивистского метода Хартри—Фока—Слейтера (ХФС) и обсуждены возможности прямого расчета энергий связи двухатомных молекул или фрагментов методом переходного состояния (МПС) в рамках приближения ХФС, а также возможности учета в рамках метода ХФС релятивистских эффектов как с использованием 4-компонентного приближения Дирака, так и 2-компонентного приближения Паули. В последнем приближении рассмотрены релятивистские вклады в полную

До, И.Л., рас-
чен

(73)

X.1984, 19, N/

энергию и волновую функцию в пертурбац. разложении по степеням α^2 , где α -ПТС. В рамках формализма МПС исследованы релятивистские вклады в вычисляемые значения энергий связи. Результаты учета релятивистских эффектов в методе ХФС продемонстрированы на примерах расчетов спектроскопич. постоянных молекул AuH , AuCl , Au_2 и HgCl_2 . Обсуждены причины релятивистского сокращения длин связей. Показано, что учет релятивистских эффектов приводит к изменению порядка следования относит. стабильности соединений в ряду $\text{CuCH}_3-\text{AgCH}_3-\text{AuCH}_3$.

И. А. Тополь



Auff

[Commun 11507] 1981.

Re; Do; We
pieces

Ziegler T; et al.

J. Chem. Phys., 1981,
74 (2), 1271-84.

Auk

Onnuck 13702) 1982

Lee Y.S., McLean A.D.

pseudoborei.

Oppenhofer,

Kb. reex.

palearis.

J. Chem. Phys., 1982,
76, N1, 735-736.

Au H

1982

McLean A.D., Lee

Yoon S.

pacrēiū Curr. Aspects Quantum
m. n. Chem., 1981. Proc. Int. Conf.

and Workshop, Barcelona

28 Sept.-30kt., 1981. Amster-
dam e.Q., 1982, 219-238.

(Ceu. fig H; III)

AuH

Lommelck 13382)

1982

Methfessel H., Kübler J.

электрон.
структур,
расен

Ж. Phys F: Metal. Phys;
1982, 12, №1, 141 - 161.

Afsl

Lom. 17890]

1983

Alchean A.D.,

J. Chem. Phys., 1983, 79,
N7, 3392-3403.

neop.
paerim

Auff 10m. 20391 1983

Sassenberg U.,

Ph.D.,
Dissop'
Inaugural dissertation,
Institute of Physics,
University of Stockholm
S-113 46 Stockholm,
1983.

AfM

Om. 18488 /

1984

Kahn L. R.,

Int. J. Quantum. Chem.

1984, 25, n1: Proc. Symp.

Relativ Eff. Quantum.

Chem., Abo, June 21-23,

1982, ● 149-183.

mcop.
pacem

AuH

1985

Krauss M.,
Stevens W. J., et al.

il. n.

J. Comput. Chem.,
1985, 6, NY, 287-295.

(ac. AgH; II)

AUK

Om. 25501

1986

neop.
pacem.

Malli G.L., Pyres N.C.,
Proc. Roy. Soc. London,
1986, A 407, 377-404.

Auff Lom 22686 | 1985

Ross R.B., Ermler W.C.,

ab initio γ : Phys. Chem., 1985,
pacrem. 89, N24, 5202-5206.

(Coll. Syg 2 III)

Fult(2) Mr. dd 261, a"

1985

Squires R.R.,

Do J. Amer. Chem. Soc., 1985,
107, N 15, 4385-4390.

AuH

1986

ab initio
pacns

106: 9531p Ab initio fully relativistic molecular calculations:
bonding in gold hydride. Malli, G. L.; Pyper, N. C. (Dep. Chem.,
Simon Fraser Univ., Burnaby, BC Can. V5A 1S6). *Proc. R. Soc.
London, A* 1986, 407(1833), 377-404 (Eng). The electronic
structure of AuH was investigated by ab initio fully relativistic
extended basis set SCF and CI calcns. based on Dirac equation. The
Au 6p orbitals play only a very minor role in the bonding. The 10
electrons occupying the 5d orbitals in the free Au atom are
significantly affected by the formation of the mol. whose electronic
structure exhibits substantial 5d-6s hybridization. The extended-basis
calcns. show that relativity shortens the bond length by 0.45 a.u.,
substantially increases the fundamental vibration frequency and
doubles the binding energy predicted by using a single determinant
wavefunction. The bonding cannot be fully understood by using
nonrelativistic theory.

c.A.1987, 106, N2

АиН

1986

4 Д108. Полностью релятивистские неэмпирические расчеты молекул. Связь в гидриде золота. *Ab initio fully relativistic molecular calculations. Bonding in gold hydride.* Malli G. L., Pyper N. C. «Proc. Roy. Soc. London», 1986, 1986, A407, № 1833, 377—404 (англ.)

Неэмпирическим полностью релятив. методом ССП в расширенном базисе, выбор которого детально обсужден, с учетом конфигурационного взаимодействия исследовано электронное строение AuH (I). Отмечено, что бр-АО играют весьма незначительную роль в связи, в которой существенна $5d$ — $6p$ гибридизация. Отмечено, что релятив. эффекты столь велики, что нерелятив. приближение приводит к совершенно неадекватному описанию связи (энергия диссоциации 0,994 эВ, тогда как в нерелятив. приближении выгоден распад на атомы с энергией 0,19 эВ). Равновесная длина связи оценена в 2,8794 ат. ед.). В. Л. Лебедев

(М.П.)

оф. 1987, 18, № 4

AuH

1987

meop panel

107: 141714a Relativistic effects on orbital energies in silver hydride and gold hydride; a clue to the origin of relativistic correlation effects. Lee, Yoon Sup; McLean, A. D. (Dep. Chem., Korea Adv. Inst. Sci. Technol., Seoul, 131 S. Korea). *Bull. Korean Chem. Soc.* 1987, 8(2), 122-5 (Eng). Orbital energies for AuH and AgH were calcd. with an all-electron, relativistic-SCF method by using Slater-type basis functions. The major relativistic effects for AgH were spin-orbit splittings, and those for AuH were large shifts in the orbital energies in addn. to spin-orbit splittings. Relativistic effects on the orbital energies in AgH and AuH imply that changes in correlation energies for relativistic calcns. of AuH will be significantly larger than those of AgH, providing partial explanation for the large discrepancies in equil. bond length and the dissocn. energy between expts. and theor. ests. for AuH. Large relativistic effects on the orbital energies indicate that the relativistic contributions should be included for the correct interpretation of ionization potentials for these mols. Relativistic effects were also evident in the dipole moments of these mols.

(X) (H)

c. A. 1987, 107, n16

AgH

AOPH 1988
Miyoshi Eisaku,
SAKAI YOSHIKO.

meop.
parcen
empyk-
mypes,
Di;

J. Composit. Chem. 1988,
9 (7), 719-27.

(catal. CuF; III)

AuH

1988

14, meop.
racem.

109: 237445f Relativistic effects in bonding and dipole moments for the diatomic hydrides of the sixth-row heavy elements. Ramos, A. F.; Pyper, N. C.; Malli, G. L. (Theor. Sci. Inst., Simon Fraser Univ., Burnaby, BC Can. V5A 1S6). *Phys. Rev. A: Gen. Phys.* 1988, 38(6), 2729-39 (Eng). Ab initio Dirac-Fock (DF) and nonrelativistic-limit (NRL) wave functions and dipole moments are calcd. to investigate the bonding characteristics and the relativistic effects in the systems HgH^+ , TlH , PbH^+ , and BiH . The dipole moment of AuH is evaluated using the DF SCF and relativistic CI wave functions obtained by G. L. Malli and N. C. Pyper (1986). Contour plots of relativistic MO densities and difference d. maps are presented to illustrate the arrangement of electronic charge in these systems. The 5d orbitals are involved in the bonding of HgH^+ , whereas they do not play a significant role in TlH and PbH^+ . The relativistic calcns. predict HgH^+ , TlH , and PbH^+ to be bound. The nonrelativistic-limit wave functions predict HgH^+ and BiH to be unbound but TlH and PbH^+ to be bound. The calcd. dipole moments using the DF and the NRL wave functions for these heavy systems differ significantly in magnitude, and in some cases even in the sign.

(+3)

c.A.1988, 109, N.26

HgH^+ , TlH , PbH^+

ArH

1989

Boca R.

Int. J. Quantum. Chem.

1989. 36, N6, C. 727-739.

(cell. NaH; II)

Auff

1989

III: 240191s Relativistic all electron configuration interaction calculation of ground and excited states of the gold hydride molecule. Jansen, G.; Hess, B. A. (Inst. Phys. Theor. Chem., Univ. Bonn, D-5300 Bonn, 1 Fed. Rep. Ger.). *Z. Phys. D: At., Mol. Clusters* 1989, 13(4), 363-75 (Eng). Relativistic CI calens. were made with the spin-free no-pair Hamiltonian on the gold hydride mol., treating the ground state as well as the eleven lowest excited states. The calens. provide a picture of the bonding in the $X^1\Sigma^+$ ground state consistent with previous work on this species using four-component spinors: compared to non-relativistic calens., the dipole moment is reduced by a factor of two, hybridization (and thus participation of d orbitals at the bonding) is greatly enhanced, the bond length is shortened by 20 pm, and the dissoci. energy is increased by 50%. Comparison of the spin-averaged potential curves of the excited states with expt. suggests a reinterpretation of the $C^1\Sigma^+$ as the 0^+ fine structure component of 2^3H and the prediction of a weakly bound $^3\Sigma^+$ state with weak transitions to the ground state in the range of 2.9-3.1 eV.

11 boydyng.
COCMOwilheit,
parlem

C.A.1989, III, N26

АиН

1989

4 Б1014. Релятивистский расчет с учетом всех электронов методом конфигурационного взаимодействия основного и возбужденных состояний молекулы гидрида золота. Relativistic all electron configuration interaction calculation of ground and excited states of the gold hydride molecule / Jansen G., Heß B. A. // Z. Phys. D.— 1989.— 13, № 4.— С. 363—375.— Англ.

Неэмпирическим релятивистским методом ССП в широком базисе с послед. учетом релятивистского конфигурац. взаимодействия рассчитаны потенциальные кривые 12 низших электронных состояний молекулы *АиН* в приближении нулевого спин-орбитального взаимодействия. Показано, что предложенный метод, основанный на бесспиновом непарном гамильтониане с проекторами внешнего поля, является быстрым и эффективным, в то же время вычисленные результаты хорошо согласуются с результатами наиболее точных методов, учитывающих релятивистские эффекты (РЭ). Проводится сравнение х-к основного состояния с учетом и без учета РЭ. Релятивистское сокращение связи Аи—Н состав-

М.Л.

Х. 1990, № 4

ляет 0,20 Å; вклад РЭ в энергию диссоциации 1,14 эВ; дипольный момент уменьшается в 2 раза. Найдено, что в релятивистском приближении молекула AuH значительно более ковалентна. Подробно обсуждается электронная структура и диабатич. кривые для всех возбужденных состояний Σ , Π и Δ -типа и сравниваются с эксперим. Отмечено, что для получения колич. результатов необходим учет спин-орбитального взаимодействия.

В. К. Михалко

1rst-
989.-
ITG

AuH⁺

AuH

AuH⁻

М.Н.

1989

4 Б1021. Релятивистские эффекты в химии золота.
I. Двухатомные соединения золота. Relativistic effects
in gold chemistry. I. Diatomic gold compounds /
Schwerdtfeger P., Dolg M., Schwarz W. H. E., Bow-
maker G. A., Boyd P. D. W. // J. Chem. Phys.—
1989.— 91, № 3.— С. 1762—1779.— Англ.

Нерелятивистским и релятивистским методами ССП
как с учетом всех электронов, так и в различных
приближениях псевдопотенциала рассчитано электрон-
ное строение, спектроскопич. постоянные и дипольные

(76) ~~8~~

170.

X·1990, N 4

моменты двухатомных соединений Au: $\text{AuH}^+({}^2\Sigma^+)$, $\text{AuH}({}^1\Sigma^+)$, $\text{AuH}^-({}^2\Sigma^+)$, $\text{AuLi}({}^1\Sigma^+)$, $\text{AuO}({}^2\Pi, {}^2\Sigma^-)$, $\text{AuF}({}^1\Sigma^+)$, $\text{AuNa}({}^1\Sigma^+)$, $\text{AuS}({}^2\Pi, {}^2\Sigma^-)$, $\text{AuCl}({}^1\Sigma^+)$, $\text{AuBr}({}^1\Sigma^+)$, $\text{AuI}({}^1\Sigma^+)$, $\text{Au}_2^+({}^2\Sigma_g^+)$, $\text{Au}_2({}^1\Sigma_g^+)$ и $\text{Au}_2^-({}^2\Sigma_g^+)$. Корреляц. эффекты учитывали в рамках приближений конфигурац. взаимодействия и связанных и связанных электронных пар. Исследовано влияние релятивистских эффектов на различные св-ва молекул. Показано, что релятивистская стабилизация или дестабилизация связей зависит от электроотрицательности лиганда. Наибольшая дестабилизация связи обнаружена для AuF (86 кДж/моль) и наибольшая стабилизация связи — для AuLi (-174 кДж/моль). Релятивистское сокращение длин связей имеет различную величину от 1,09 Å для AuH^+ до 0,16 Å для AuF . Многие рассчитанные спектроскопич. постоянные имеют предсказат. характер.

И. А. Тополь

Auff +

[OM 34017]

1990

Ohanessian F., Brügel M.J.
et al.,

meop.

pacrem

J. Amer. Chem. Soc. 1990,
112, 7179-7189.

Theoretical Study of Transition-
Metal Hydrides.

5. $H_f H^+$ through HgH^+ ,
 BaH^+ , and ZnH^+ .

AuH

(Om 34574)

1990

Reddy R.R., Reddy A.S.R.,
Viswanath R.,
M.N.,
Oyekka J. Quant. Spectrosc.
and Radiat. Transfer.,
1990, 43, N.Y., 347 - 349.

AuH

1992

117: 258634x A scalar-relativistic extension of the linear combination of Gaussian-type orbitals local density functional method: application to gold hydride, gold chloride, and gold diatomic (AuH, AuCl, Au₂). Haeberlen, Oliver D.; Roesch, Notker (Lehrstuhl fuer Theor. Chem., Tech. Univ. Muenchen, W-8046 Garching, Germany). *Chem. Phys. Lett.* 1992, 199(5), 491-6 (Eng). The linear combination of Gaussian-type orbitals local d. functional (LCGTO-LDF) approach to the electronic structure of mol's. was supplemented by a self-consistent scalar-relativistic method based on external field projectors. By means of an unitary Douglas-Kroll transformation, the method decouples the large and small components correct to 2nd order in the nuclear potential and thus yields a numerically stable two-component all-electron method. The computational effort beyond that of a nonrelativistic mol. LCGTO-LDF calcn. remains moderate. The results obtained for Au₂, AuH and AuCl are encouraging as spectroscopic consts. are found to compare well with exptl. data.

meop. pacet,
M.N.

(42) 

C.A. 1992, 117, n26

1992

AuH⁺

Д 5 Д76. Неэмпирические ССП расчеты методом Дирака—Фока для систем с открытой оболочкой и тяжелым атомом. Связь в ионе AuH⁺. Ab initio Dirac—Fock self-consistent field calculations for open-shell heavy-atom systems. Bonding in AuH⁺ ion / Ishikawa Yasuyuki, Malli Gulzari L., Pyper N. C. // Chem. Phys. Lett. — 1992 .— 194 , № 4—6 .— С. 481—484 .— Англ.

Для исследования влияния релятив. эффектов на химич. связь в основном состоянии $\Gamma_{1/2}$ иона AuH⁺ применен неэмпирич. метод ССП Дирака—Фока для молекул с открытыми оболочками. Показано, что релятив. эффекты приводят к существенному (на 1,01 Å) укорочению связи в указанном состоянии; результирующая длина связи равна 1,56 Å. Энергия диссоциации и силовая постоянная с учетом релятив. эффектов возрастают на порядок величины по сравнению с нерелятив. результатами.

об 1993, №5

AuH⁺

1992

117: 118748n Ab initio Dirac-Fock self-consistent field calculations for open-shell heavy-atom systems: bonding in the hydrogold (AuH⁺) ion. Ishikawa, Yasuyuki; Malli, Gulzari; Pyper, N. C. (Dep. Chem., Univ. Puerto Rico, Rio Piedras, P. R. 00931). *Chem. Phys. Lett.* 1992, 194(4-5-6), 481-4 (Eng). A Dirac-Fock SCF scheme for open-shell mols. is implemented in terms of the generalized coupling operator formalism. The method is applied to the ground state $\Gamma_{1/2}$ of the AuH⁺ ion in order to evaluate relativistic effects on the chem. bonding of this species. The effects result in a dramatic bond contraction of 1.01 Å at the SCF level ; the predicted bond length for the $\Gamma_{1/2}$ ground state is 1.56 Å. The computed dissociation energy for the ground $\Gamma_{1/2}$ state is 0.59 eV at the SCF level. The ab initio fully relativistic Dirac-Fock-SCF treatment leads to an order of magnitude larger dissociation energy and force const. for the ground state of the AuH⁺ ion as compared to the non-relativistic SCF treatment.

No, 117-
ab initio pac-
22M -

C.A. 1992, 117, NY2

AuH

1993

3 Б1058. Потенциал ионизации и сродство к электрону атома Au и молекулы AuH, рассчитанные релятивистскими методами конфигурационного взаимодействия и пропагатора с учетом всех электронов. Ionization potential and electron affinity of the Au atom and the AuH molecule by all-electron relativistic configuration interaction and propagator techniques /Pizlo Artur, Jansen Georg, Heß Bernd Artur, Niessen Wolfgang von //J. Chem. Phys. .—1993 .—98 ,№ 5 .—С. 3945—3951 .—Англ.

γ , Ae

Проведены релятивистские и нерелятивистские неэмпирич. расчеты (с учетом всех электронов) потенциалов ионизации, сродства к электрону и энергий возбуждения атома Au и молекулы AuH. Использованы метод конфигурац. вз-вия, усредненный метод функционала связанных пар и различные варианты метода ф-ции Грина. Библ. 30.

А. А. Сафонов

X. 1994, № 3

Aer H

1995

Collins Ch. L., Dyall K.G.
et al.

J. Chem. Phys. 1995,
v. 102, N 5. C. 2024-2031.

(ccr, C₁H; III)

1995

F: AuH

P: 3

8Б169. Электронная корреляция и релятивистские эффекты для соединений металлов группы IB. I. Гидриды металлов группы IB. Electron correlation and relativistic effects in the coinage metal compounds. I. The coinage metal hydrides / Kello Vladimir, Sadlej Andrzej J. // Theor. chim. acta. - 1995. - 92, N 4. - C. 253-267. - Англ.

эмпирическим методом ССП МО ЛКАО в больших базисах с включением поляризац. ф-ций и учетом электронной корреляции методом связанных кластеров (с учетом трехкратных возбуждений), а также с учетом релятивистских эффектов (РЭ) в квазирелятивистском приближении исследовано электронное строение M, M=Cu, Ag, Au. Дипольные моменты найдены равными 1,13; 1,35 и 1,21 ат. ед., а при учете РЭ они понижаются до 1,05; 1,14 и 0,64 соответственно. Обсуждено влияние учета электронной корреляции и РЭ на распределение электронной плотности. Библ. 59.

Р.Ж.Х. N8, 1996

Auff

1995

Van Nueller, Christoph

J. Chem. Phys., 1995,
103(9), 3589-99.

(Meop.
vacuum)

(all. Agff;  III)

AuH

1997

128: 81448p The AuH $\text{AO}^+ \rightarrow \text{X}^1\Sigma^+$ system. Fellows, C. E.; Rosenberg, M.; Campos, A. P. C.; Gutteres, R. F.; Amiot, C. (Laboratorio de Espectroscopia e Laser, Instituto de Fisica, Universidade Federal Fluminense, 24210-340 Niteroi, Brazil). *J. Mol. Spectrosc.* 1997, 185(2), 420-421 (Eng), Academic Press. AuH mol. consts. are calcd. in A-X transitions of 0-0, 1-0, 2-0, 0-1, 1-2, and 2-1. The rotational quantum no. J ranges from 9 in the 2-1 band to 24 in the 0-0 band so that the rotational extension is clearly not as high as in older studies. However, the wavenumber accuracy is more than two orders of magnitude better.

$\text{AO}^+ \rightarrow \text{X}^1\Sigma^+$

C.A. 1998, 128, N7

AuH

1997

127: 268265y Relativistic effects on covalent bonding: role of individual valence atomic orbitals. Onoe, Jun (The Institute of Physical and Chemical Research (RIKEN), 2-1 Hirosawa, Wako, Saitama, Japan 351-01). *J. Phys. Soc. Jpn.* 1997, 66(8), 2328-2336 (Eng), Physical Society of Japan. Relativistic effects on covalent bonding, in particular the role of individual valence AOs, have been investigated for diat. (AuH and Pb₂) and hexafluoride (XF₆: X = S, Se, Mo, Ru, Rh, Te, W, Re, Os, Ir, Pt, Po, Np, U and Pu) mols., by anal. of bond overlap population using both nonrelativistic and relativistic DV-Xa MO methods. The contributions of valence AOs to the relativistic effects on covalent bonding for the mols. are clarified. The present approach is applied to interpret the phys. picture of the relativistic effects on bond length of the AuH mol. The origin of the relativistic bond-length contraction is discussed in comparison with previously reported results obtained by bonding energy calcns.

(re, meop.
paarem)

C.A. 1997, 127, N19

Ack

1998

Franke, Robert; et al;

J. Comput. Chem. 1998,
19(14), 1596 - 1603

re, we,
neopen-
pacem

(acc. Ack); (II)

Aeck

LOM-41219

1998

neopen.
pacet Christoff van Wijlten,
J. Chem. Phys., 1998,
109, N2, 392 - 599.

d^x -amonsterei configuration Au
u eka-gold (merrem III)

1999

of. 39962

AuX

X = H, F, Cl, Br, O

Au

M.N.

A

(+)

III X



C.A., 1999, 130, N20

130: 273342n Spectroscopic constants of gold and eka-gold (element 111) diatomic compounds: The importance of spin-orbit coupling. Liu, Wenjian; van Wullen, Christoph (Lehrstuhl fur Theoretische Chemie, Ruhr-Universitat, D-44780 Bochum, Germany). *J. Chem. Phys.* 1999, 110(8), 3730–3735 (Eng), American Institute of Physics. Scalar-relativistic d. functional calcns. in the zeroth-order regular approxn. as well as fully relativistic Dirac-Kohn-Sham calcns. were performed to investigate spectroscopic consts. of the eka-Au (element 111) compds. (111)X (X = H, F, Cl, Br, O, Au) and the dimer of element 111. For calibration, we also report results for homologous Au compds. The bond lengths for the compds. of element 111 are similar but slightly

larger than those of the Au compds. Spin-orbit coupling increases the bond length by a few pm. For the hydride and the halides, the force consts. of the eka-Au compds. are generally larger than those of the Au compds. although the dissocn. energy is smaller. The oxide of eka-Au is more strongly bound than the Au oxide. The dimer of element 111 has an open shell instead of a closed-shell electronic structure and is less stable than the Au dimer. The effect of spin-orbit coupling on the dissocn. energy depends on the extent to which spin-orbit coupling is quenched in the mol. This effect was estd. based on a spinor occupation population anal.

Gull

Gull

Kor.-Fraus

Muccino.

experiments,

M.n.

Vibration - rotation
spectra and

(Om. 39739)

1999

Jerring Y. Seto, Zulfikar M.,
et al.,

J. Chem. Phys., 1999,
110, N24, 11756 - 11767.



emission
combined

isotopomer analyses for the
coinage metal hydrides: CuH,
AgD, AgH, AgD, and AuH, AuD

1999

F: AuH

P: 3

132:69565 Ground-state properties of MH, MCl,
and M₂ (M = Cu, Ag, and Au) calculated by a scalar
relativistic density functional theory.

Suzumura, Toshihisa; Nakajima, Takahito;
Hirao, Kimihiko Department of Applied Chem
Graduate School of Engineering, The University of
Tokyo Tokyo 113-8656, Japan Int. J. Quantum
Chem., 75(4/5), 757-766 (English) 1999 The effects
of relativity on the bond lengths, vibrational
frequencies, dissocn. energies, and dipole moments
of the ground states of the group I hydrides MH,
chlorides MCl, and dimers M₂ (M = Cu, Ag, and Au)
have been by relativistic d. functional theory
(DFT) with the B88 plus one-paramete progressive
(BOP) exchange-correlation functional. The

C.A.2000, 132

relativistic effe were included through a scalar relativistic scheme by the elimination of small components (RESC) of the four-component Dirac spinors. Comparisons made between all-electron results using the nonrelativistic Hamiltonian, with quasi-relativistic effective core potentials (ECP), and results with spin-free RESC scheme. The RESC approach clearly works very well. The b distances, vibrational frequencies, and dissocn. energies show good agree with the expt. The expected trends of bond length decrease, harmonic vibrational frequency increase, and dipole moment decrease with relativit found. Although the dissocn. energy increases with the relativity for hy and dimers, the reverse trend is obsd. for chlorides. A quasi-relativist also works well for hydrides. However, ECP gives a rather poor descripti chlorides and dimers.

~~negative file~~

2001

~~for~~ Aiki, Dg H.

Hg₂, Sg₂ N₂

meopenm.pac

UN N.L., D.

8 Oct. 21. 2001

135: 294206q Accurate relativistic Gaussian basis sets for H through Lr determined by atomic self-consistent field calculations with the third-order Douglas-Kroll approximation. Tsuchiya, Takashi: Abe, Minoru; Nakajima, Takahito; Hirao, Kimihiko (Department of Applied Chemistry, Graduate School of Engineering, The University of Tokyo, Tokyo, Japan 113-8656). *J. Chem. Phys.* 2001, 115(10), 4463-4472 (Eng), American Institute of Physics. Highly accurate relativistic Gaussian basis sets are developed for the 103 elements from H(Z = 1) to Lr (Z = 103). Orbital exponents are optimized by minimizing the at.:SCF (SCF) energy with the scalar relativistic third-order Douglas-Kroll approxn. The basis sets are designed to have equal quality and to be appropriate for the incorporation of relativistic effects. The basis set performance is tested by calcns: on prototypical mols., hy-

(45)

△

C-A 2001, 135, 120

drides, and dimers of copper, silver, and gold using SCF, Moller-Plesset theory, and the singles and doubles coupled-cluster methods with and without perturbative triples [CCSD, CCSD(T)]. Spectroscopic consts.
and dissociation energies are reported for the ground state of each species.
The effects of relativity, electron correlation, and the basis set superposition error (BSSE) are investigated. At the BSSE cor. CCSD(T) level, the mean abs. error relative to expt. in D , for three dimers (hydrides) is 0.13 (0.09) eV; for R , the error is 0.024 (0.003) Å, and for ω , it is 2 (13) cm⁻¹. These illustrative calcns. confirm that the present basis sets fulfill their design objectives.

Ack

2001

Legge, F. Sue et al.,

prokera

menya

racema

DFT

fragme-
nus
green.

J. Phys. Chem. A 2001,
105(33), 7905-16

○ (all. Ack;
III)

AuH

[On 41154]

2001

(H₂) AuH

AuH₃

(H₂) AuH₃

lik creamy

" DFT
panzer

Xuefeng Wang

and Lester Andrews,

J. Am. Chem. Soc.,
2001, 123, 12899 -

- 12900.

AuH, AuH₃ [Om. 41359] 2002
(H₂)AuH(H₂)AuH₃ Kuefeng Wang et al.,
J. Phys. Chem. 2002, A106,
pp. 3744-3748.

Actta -

[OM 41925]

2013

Actta - Y. Andrews, X. Wang

Actta - J. Am. Chem. Soc.,
2003, 125, 11751-760

UK creeks

Infrared spectra
and structures of the stable

$\text{C}_6\text{H}_5\text{Zn}^-$, AgH_2^- , CuH_2^-
and AuH_2^- anions and
the SeH_2 molecule.